

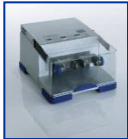


QIAGEN Sample & Assay Technologies

Guilhem RIAL,
Sales Application Specialist

Idir BITAM
Molecular Biology team IMDLabs
(QIAGEN-CEPHIED)

Disruption



High-throughput

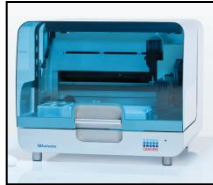


Medium-throughput

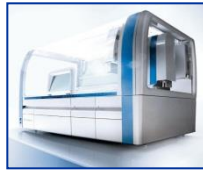


Low-throughput

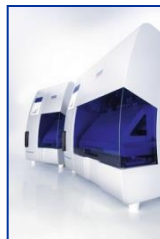
Purification



96-well batch processors



Flexible sample numbers



Low throughput processors



Assay Setup



Modular assay setup



Integrated assay setup

Detection



Real time PCR



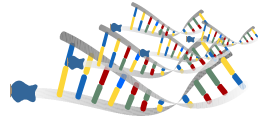
Sequencing

- Séquençage par Synthèse*
- Séquence éditée en temps réel
- Simple & robuste
- Pas de gel ni marquage
- Une technologie “non destructive”
- Flexible:
 - débit
 - design d’un essai
 - applications



* Ronaghi M., Uhlén M., Nyrén P. (1998) Real-Time Pyrophosphate Detection for DNA Sequencing. *Science* **281**:363-365

The Principle of Pyrosequencing Technology Workflow



Easily create your own PCR Primer and Sequencing Primer or use pre-designed assays, e.g. PyroMark CpG Assays

Region of interest amplified with a biotinylated primer (~70-500 bp)

Separation to single-stranded DNA using streptavidin-coated beads.

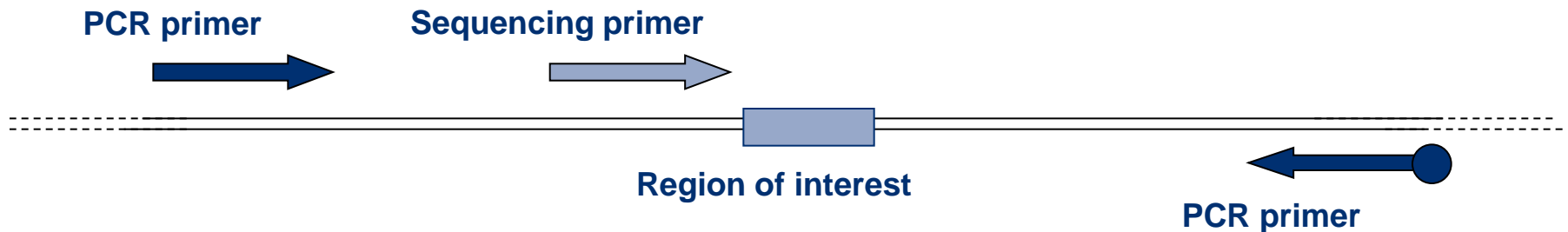
Annealing of sequencing primer.

Sequencing-by-synthesis. Sequence data generated from the first base next to the sequencing primer.

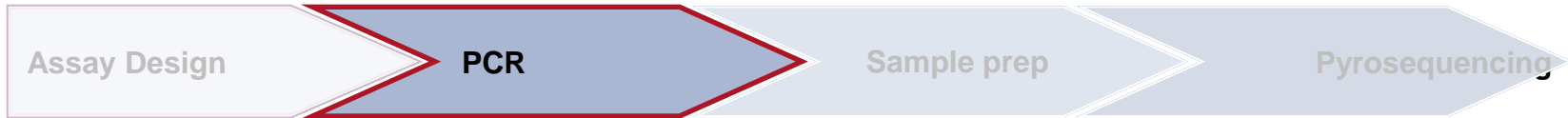
Sequence context serves as built in control



- Customer Assay Design
 - PyroMark Assay Design Software 2.0
 - PyroMark Assay Database*
 - PyroMark Custom Assays^{NEW}
- Pre-designed Assays
 - PyroMark CpG Assays^{NEW} (genomewide coverage of CpG islands)
 - PyroMark RUO Test (selected CpG or mutation targets)

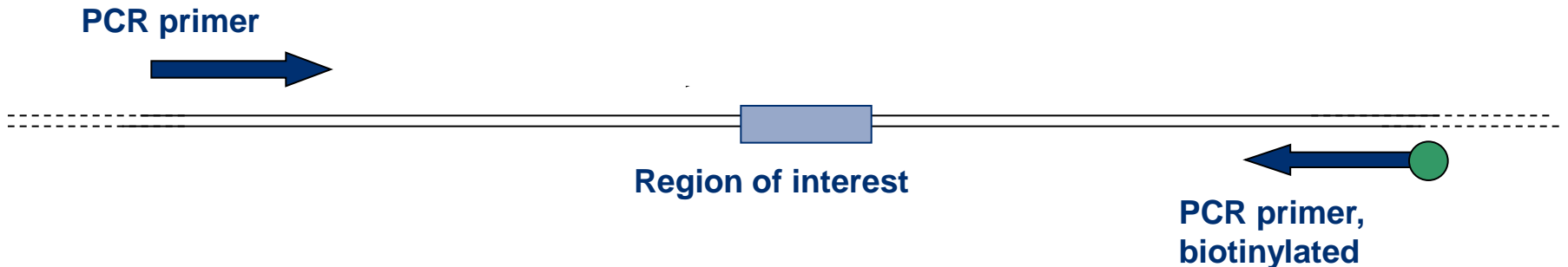


* Free Online Access for customers



PCR / RT-PCR

- Can use any PCR machine
- PyroMark PCR Kit / PyroMark OneStep RT-PCR Kit
- Amplify relevant region by PCR (70 - 500 bp)
- Can use very short PCR products if desired (i.e. degraded DNA)
- One primer has to be biotinylated



"If you can run a PCR, you can sequence with Pyrosequencing"
Jon Jonasson, University Hospital, Linköping, Sweden



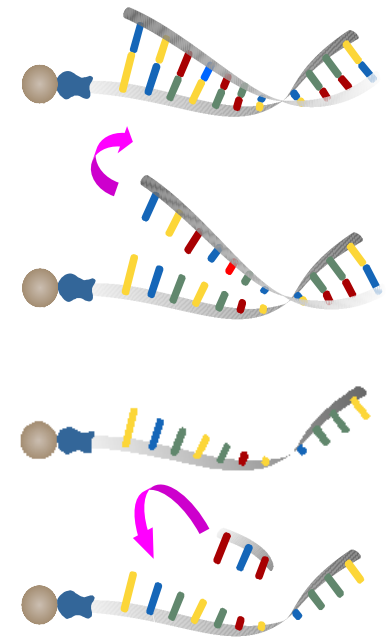
Assay Design

PCR

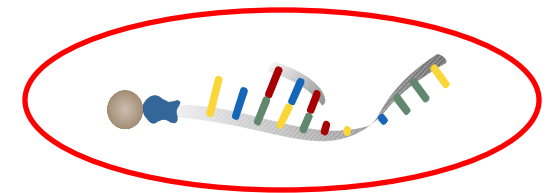
Sample prep

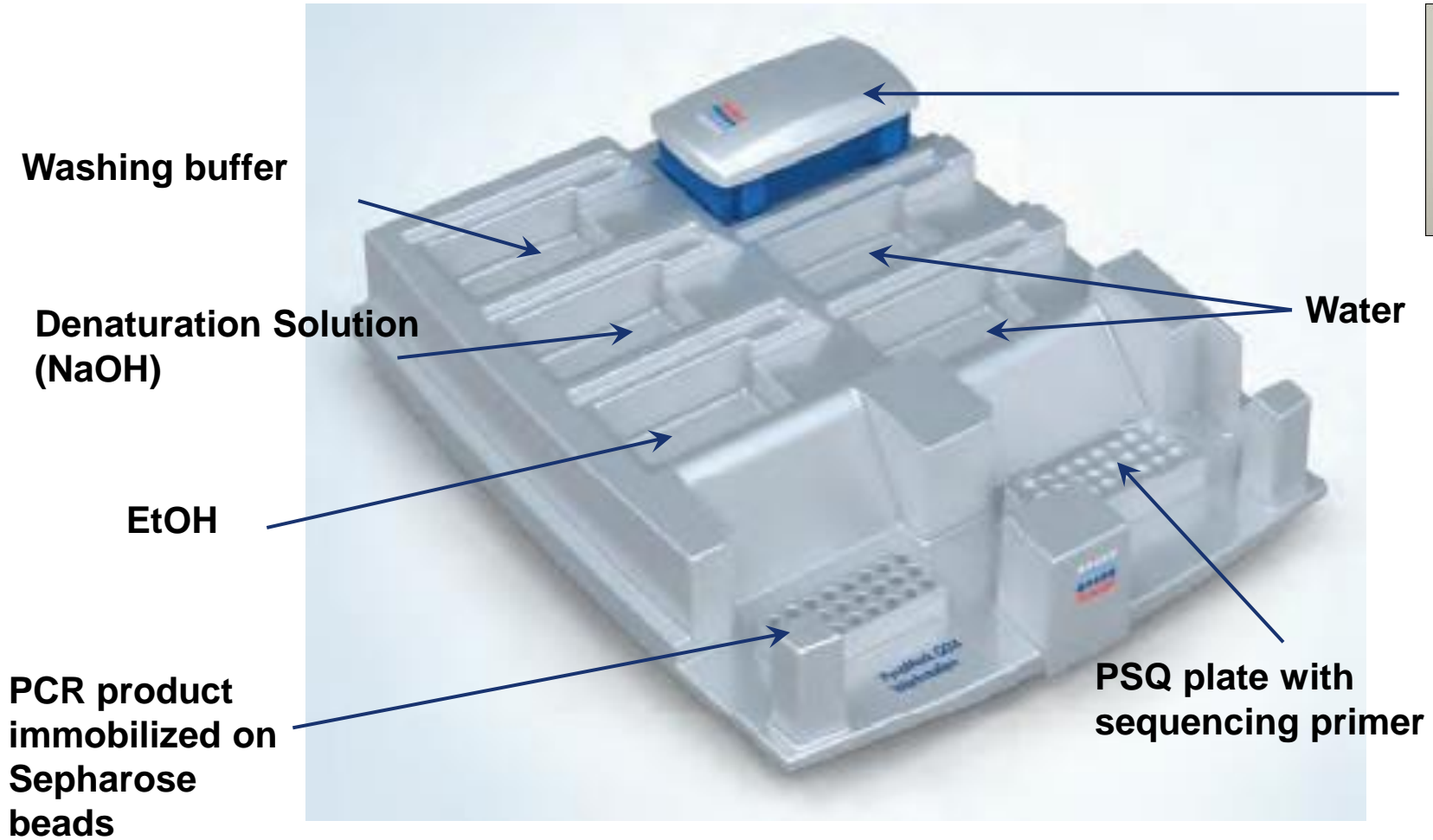
Pyrosequencing

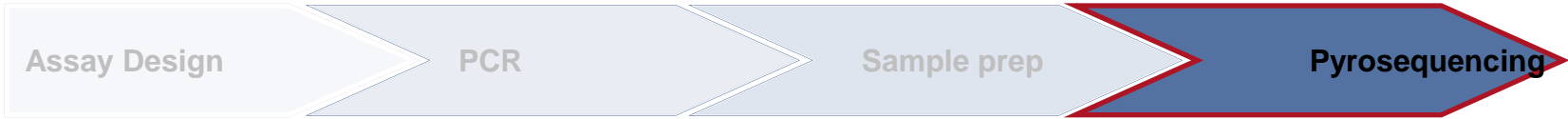
- Immobilize biotinylated PCR products onto streptavidin coated beads
- Separate strands by denaturation in NaOH
- Wash /neutralize the immobilized strand
- Anneal sequencing primer



Single-stranded DNA with annealed sequencing primer as starting molecule for the Pyrosequencing reaction

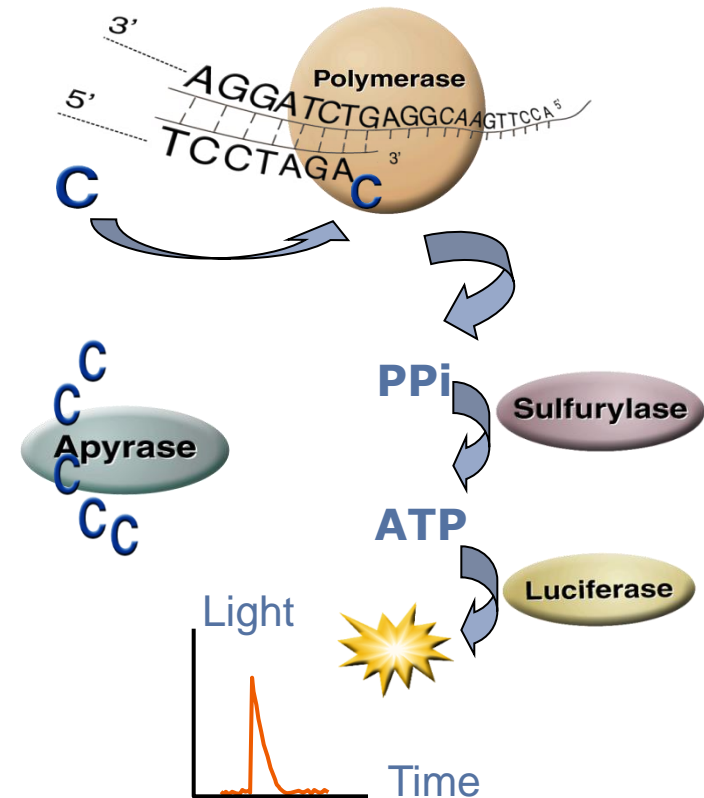




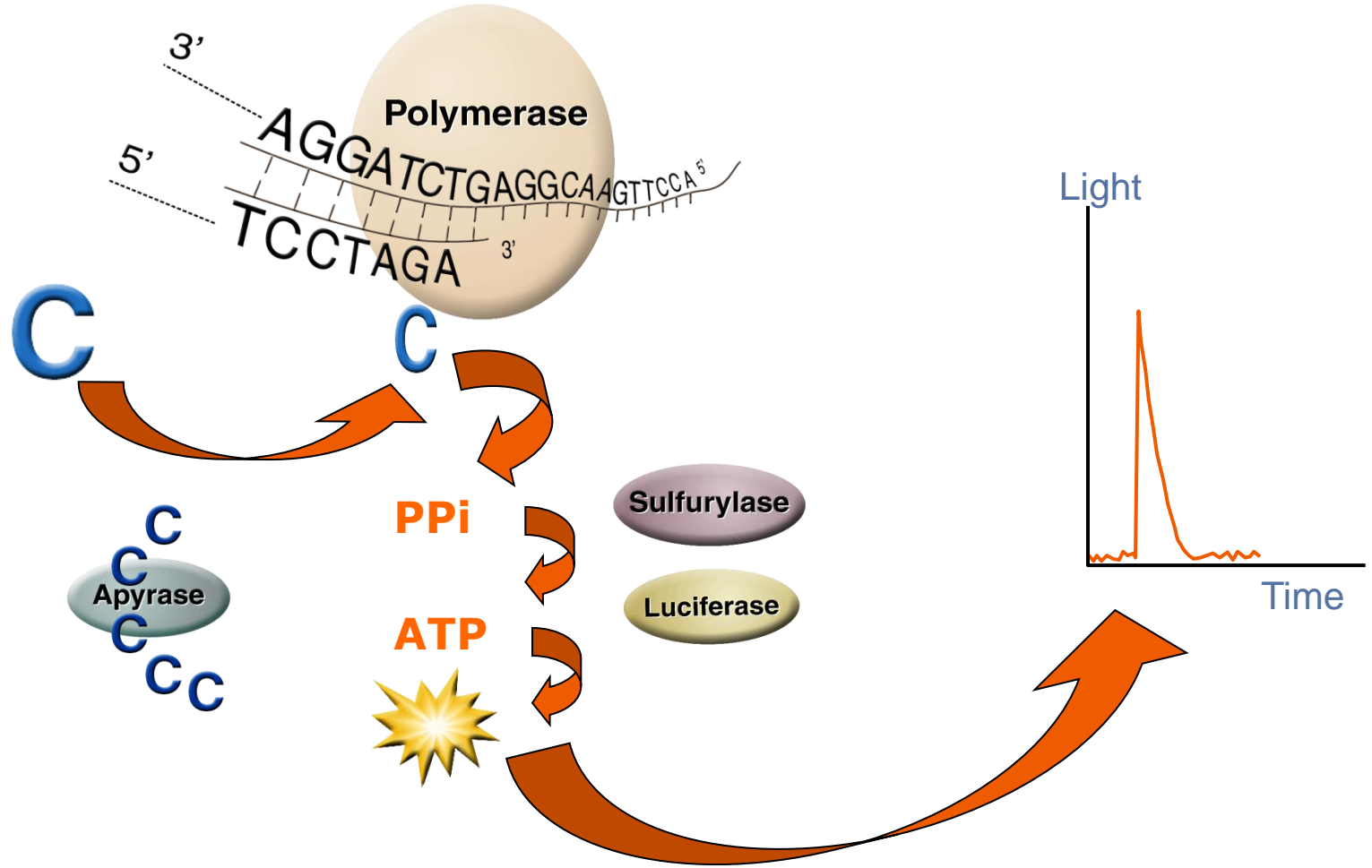


The Pyrosequencing reaction

- One nucleotide (dNTP) is added at a time
- Nucleotide incorporation generates Pyrophosphate (PP_i)
- Pyrophosphate (PP_i) is converted into light seen as peak in the Pyrogram trace
- Excess nucleotides are degraded before the addition of the next base

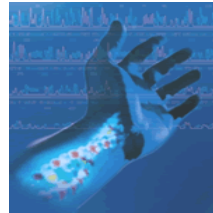


The amount of generated light is proportional to the amount of incorporated nucleotides.

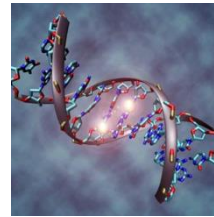




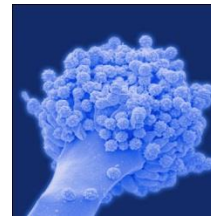
Trois Applications du Pyrosequencing



Genetic Testing



Epigenetics



Microbial Analysis



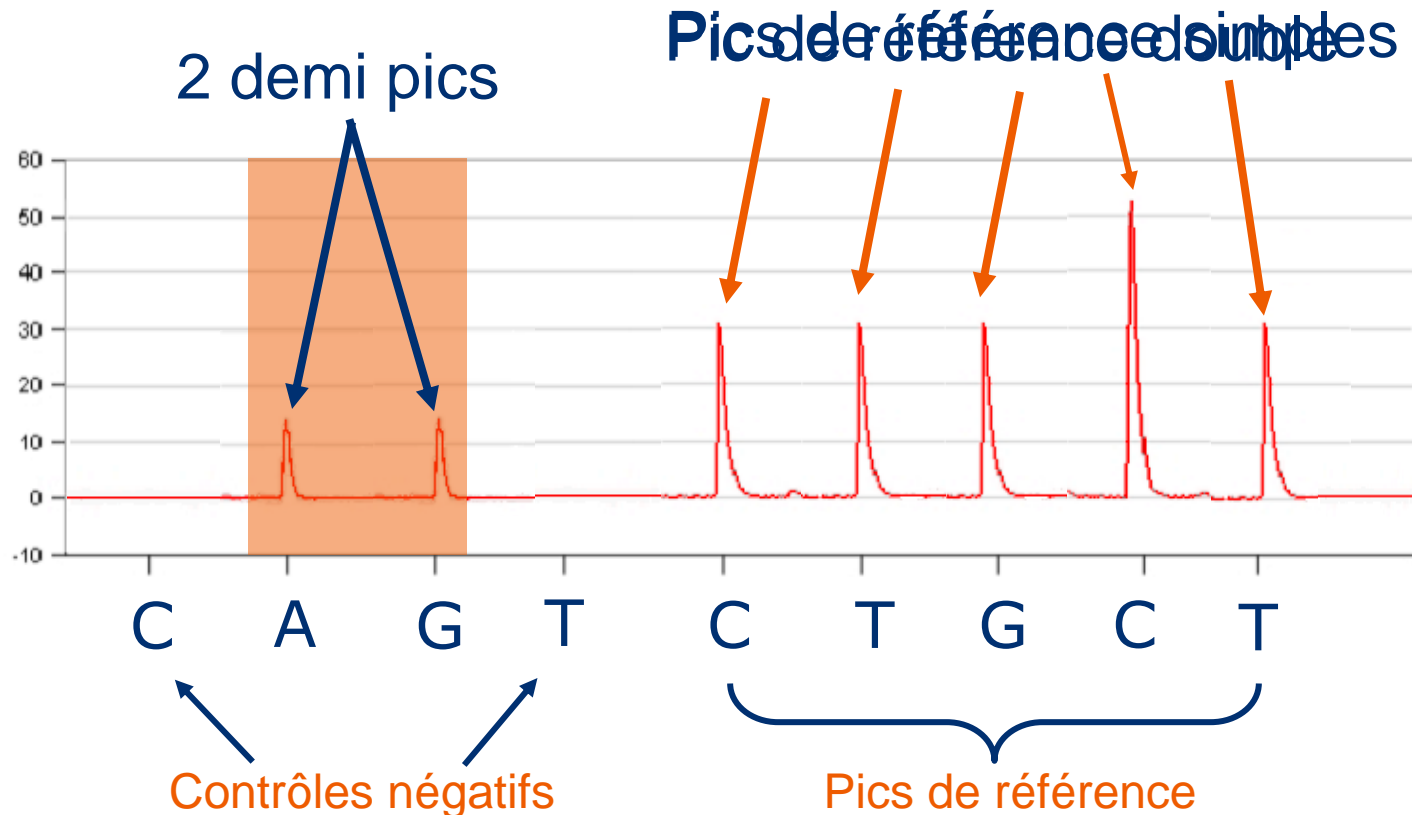
- Analyse de mutation
 - positions connues et inconnues
 - mutations ponctuelles (AG/TC)
 - mutations multiples (AG/TCAG/TCAG/T/AC)
 - mutations di-, tri- and tetra alleliques (GA/C/G/TA)
 - Insertions/Deletions

- Analyse SNP
 - Di-, tri- and tetra allelic SNPs
 - Multiple SNPs

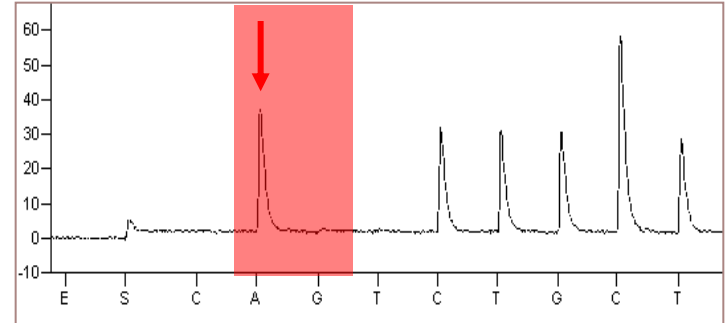
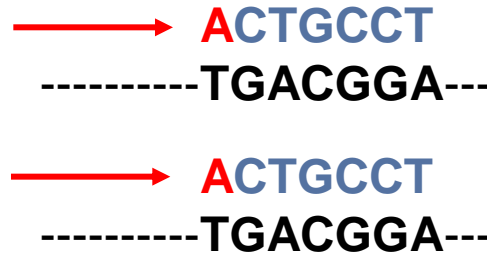
- Quantification d'allèle
 - frequence SNP
 - mutations di-, tri- and tetra alléliques

Séquence à analyser = a/gCTGCCT

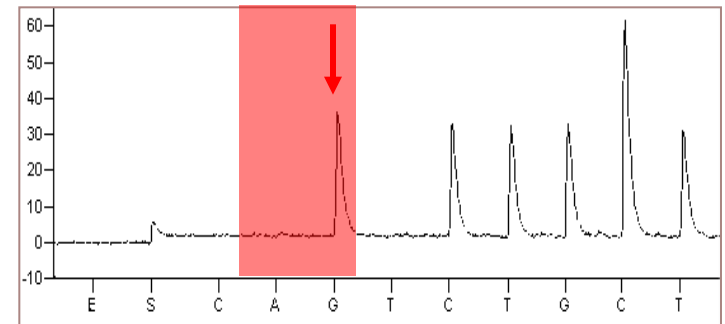
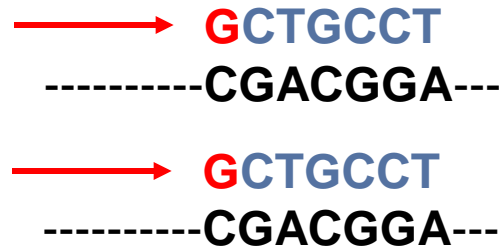
Génotype = A/G Hétérozygote



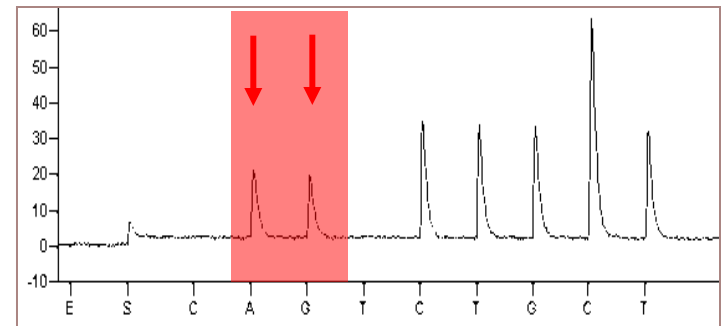
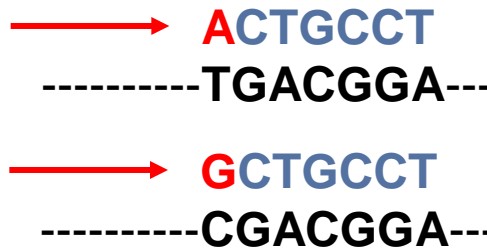
Homozygote **A**



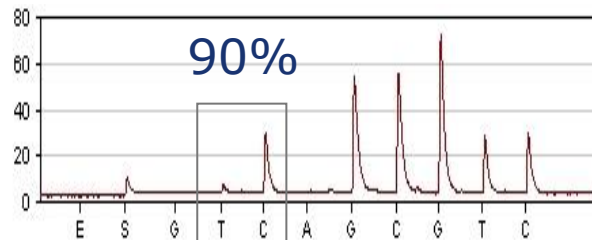
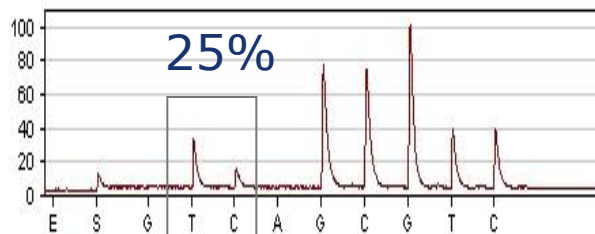
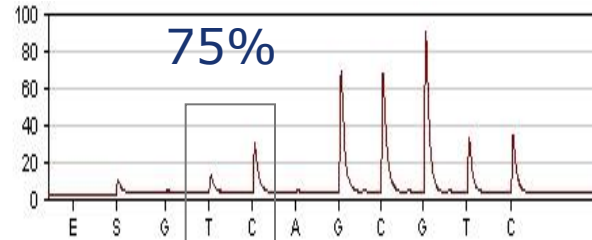
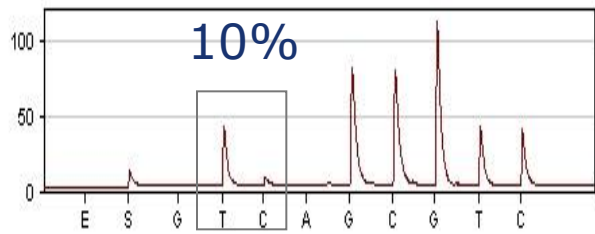
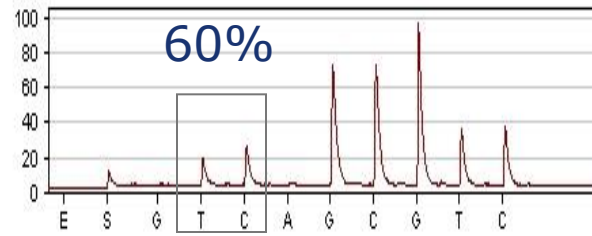
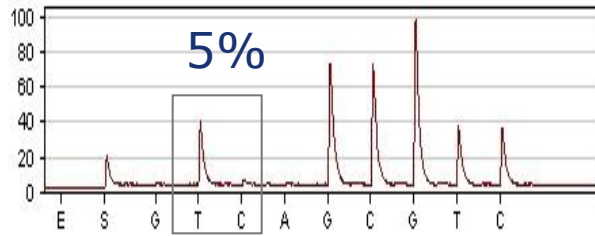
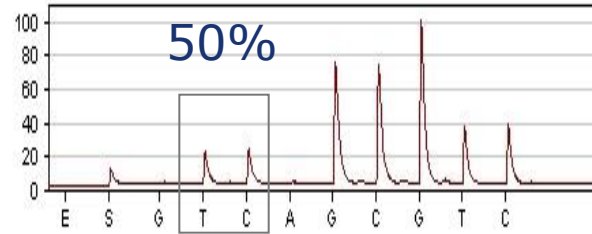
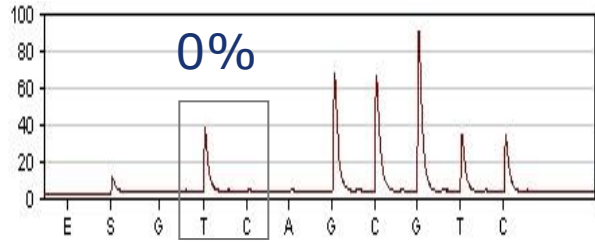
Homozygote **G**



Hétérozygote **A/G**

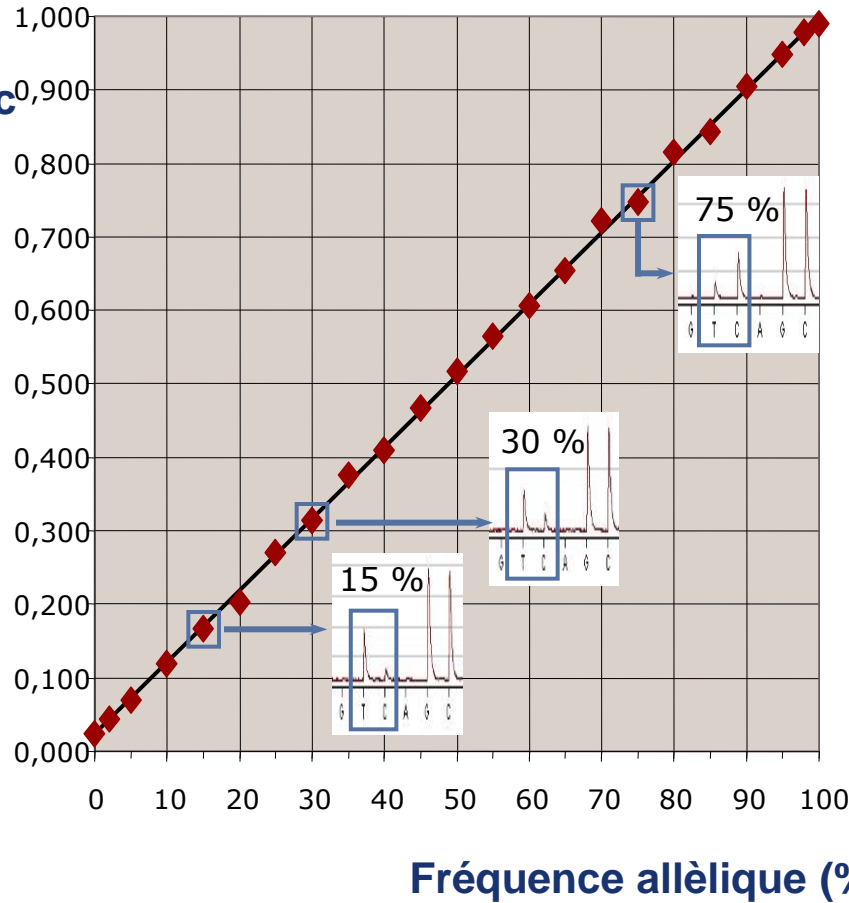


Une distinction claire des génotypes



Corrélation quantification-hauteur de pic

Hauteur relative de pic



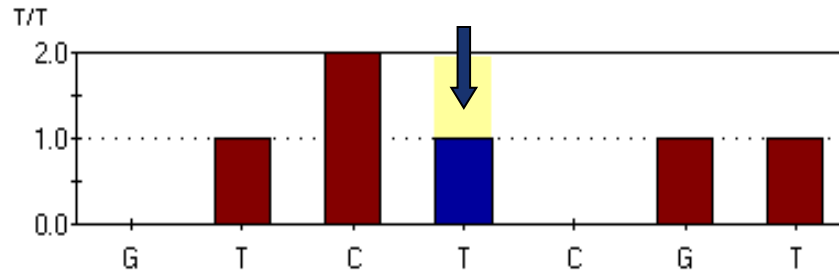
Hauteur relative de pic =

$$= \frac{\text{hauteur pic}_1}{\text{hauteur pic}_1 + \text{hauteur pic}_2}$$

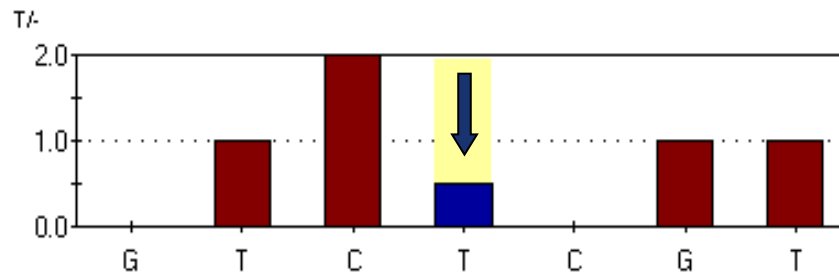
Fréquence allèlique
= hauteur relative de pic × 100 (%)

Insertion/Deletion – une base déléetée

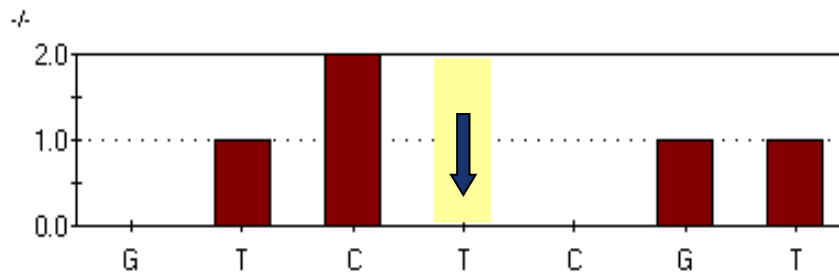
Séquence
TCC[T]GTG



T/T



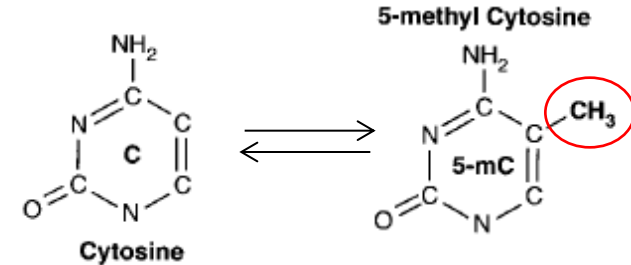
T/-



-/-

méthylation de l'ADN

- Addition d'un groupe méthyl sur les Cytosines des dinucléotides CpG
- CpGs répartis au niveau d'îlots CpG
- Les gènes méthylés sont silencieux



Îlots CpG

- Les Îlots CpG définis par la fréquence des dinucléotides CG : 1 CpG pour 10 nucléotides
- Les Îlots CpG sont fréquemment associés aux gènes (régions amont 5')
 - Les Îlots CpG co-localisent avec 60% des promoteurs
 - 70-80% des Îlots CpGs sont méthylés chez l'Humain
 - La plupart des CpGs non méthylés sont localisés dans les Îlots CpG des éléments régulateurs

Lié au Cancer

- Hyperméthylation (\uparrow^mC) résulte au "silencing" de gènes suppresseurs de tumeur
- Hypométhylation (\downarrow^mC) active des oncogènes (e.g. K-ras, C-myc)

Du traitement bisulfite au pyrosequencing

1. Traitement au Bisulfite

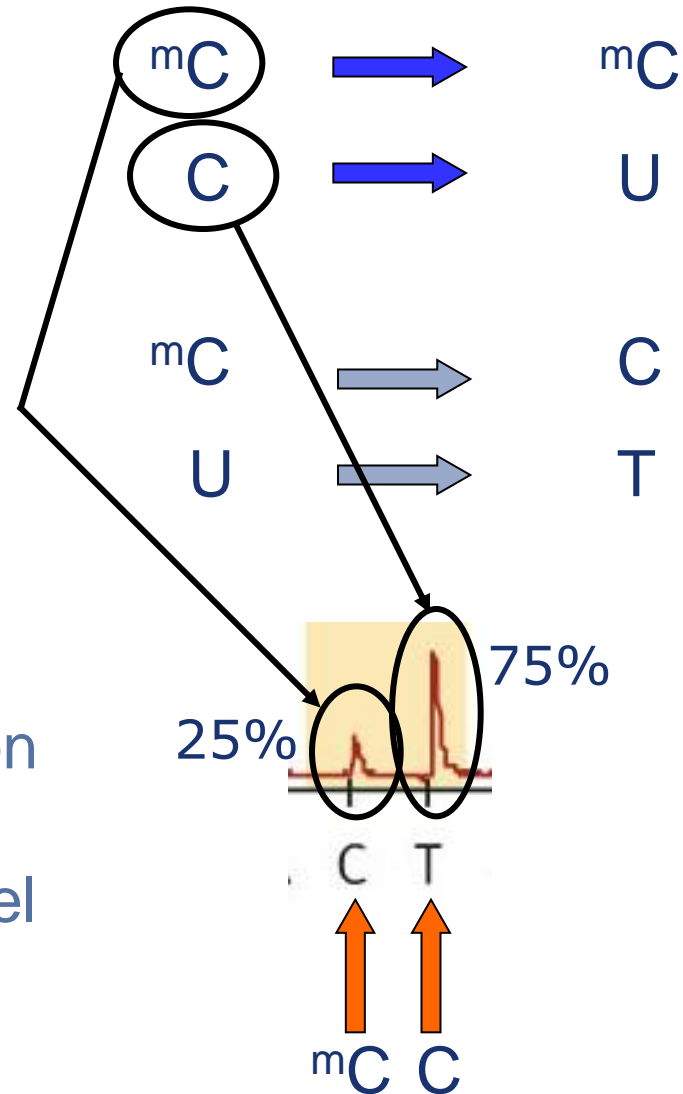


2. Amplification PCR



3. Pyrosequencing

Le degré de methylation est analysé comme un "SNP C/T" par le logiciel



Sequence to be analyzed:

A G T T A C G A C

A G T T A C^m G A C and **A G T T A C G A C**

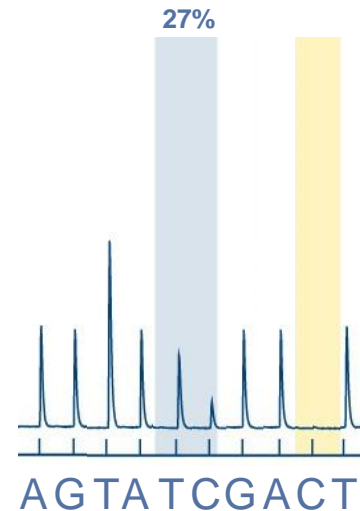
After Bisulfite conversion:

A G T T A C G A T and **A G T T A T G A T**

Analyzed sequence:

A G T T A C G A T

CpG methylation level:



Nucleotides added:

Built-in Quality control: Successful Bisulfite conversion



- Any C not followed by a G is always unmethylated and should be completely converted into T

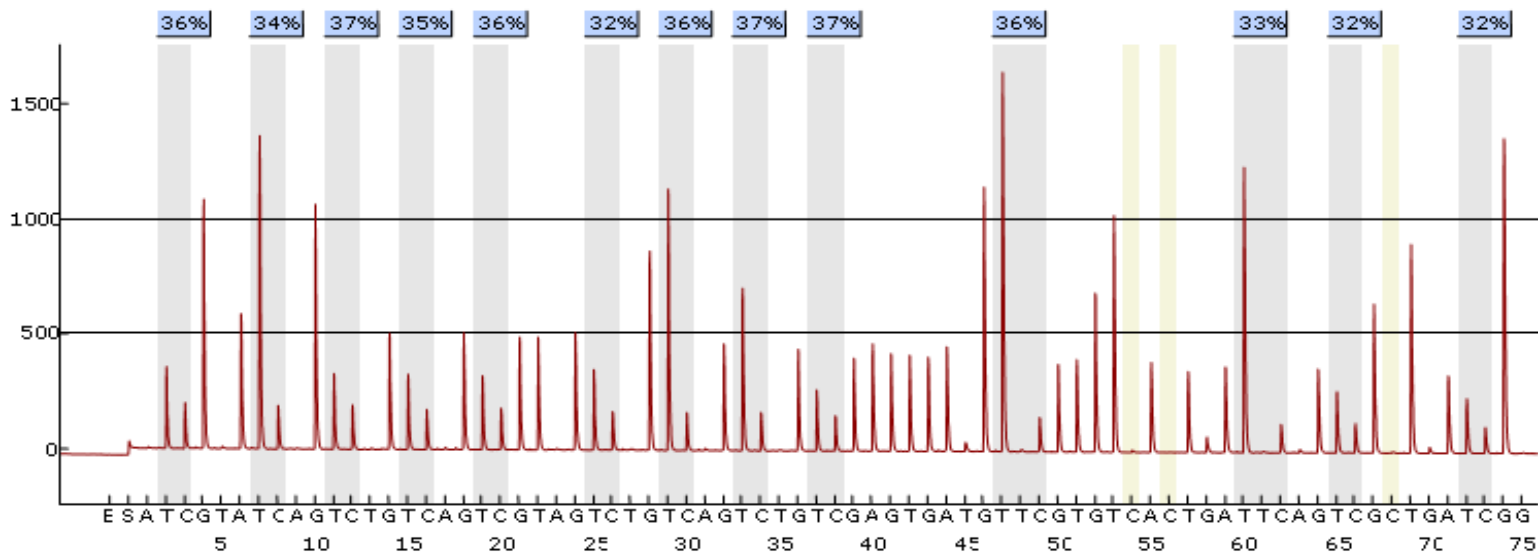
Îlot CpG, gène *p14*

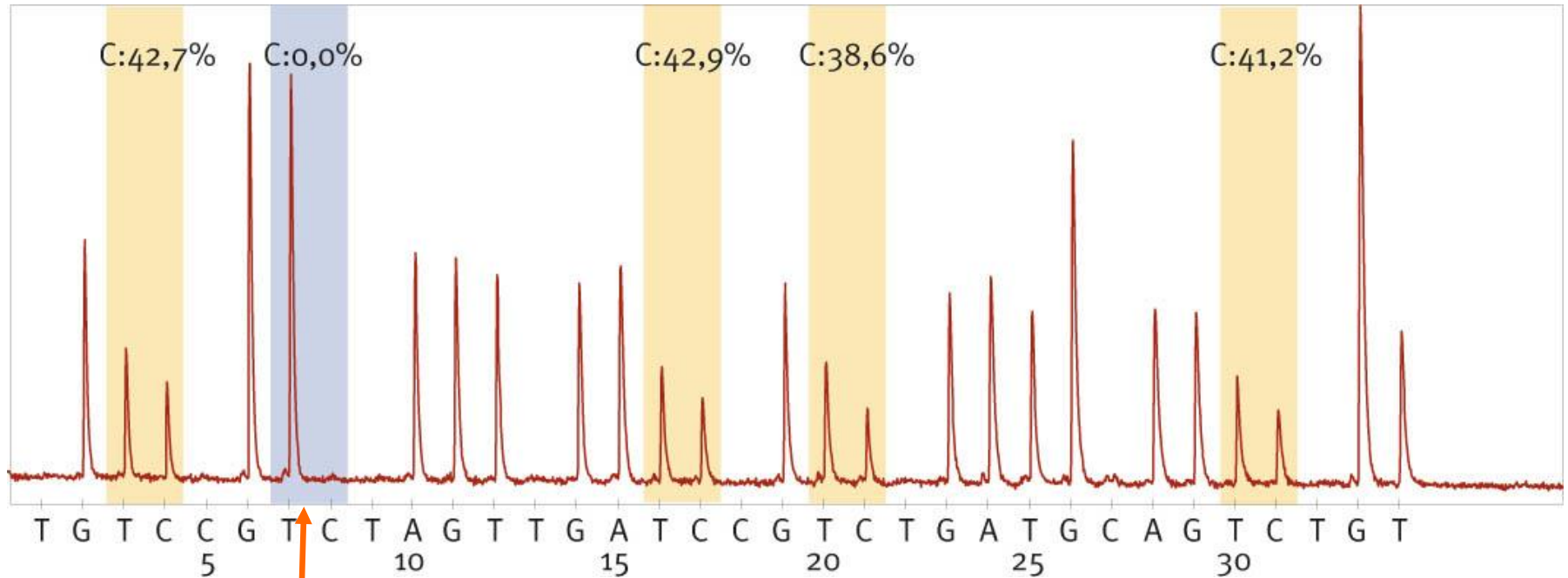


- Tous les primers sont localisés dans des régions non variables, entre les sites CpG.
- Permet l'analyse de plusieurs sites CpG adjacents avec un seul primer de pyroséquençage.

Analyse automatique des résultats

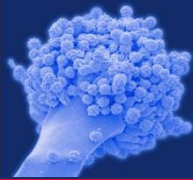
- Taux de méthylation mesurés pour tous les sites CpG analysés
- Contrôle automatique de la qualité du traitement bisulfite





GCGGT**C**AGTGAC**GC**GATGGAG**CGGGC** (Avant traitement bisulfite)
GYGGT**T**AGTGAY**GY**GATGGAG**YGGGT** (Séquence analysée)

N'importe quel C non suivi d'un G permet un contrôle qualité du traitement bisulfite



Identification Microbienne

- Bacterie / Virus / Champignons
- Typage microbien

Exemples

- Général/universel: 16S bactérien,
- Panel-based: meningitis, Candida, Gram-plus, Mycobacteria
- Espèce-spécifique: e.g. *H. pylori*, *Bordetella parapertussis/pertussis*; *Listeria monocytogenes*
- Sous-type-spécifique: e.g. *B. anthracis*, *M. tuberculosis*, *N. gonorrhoeae*

Typage de Resistance

Exemples

- mutation résistance au H3N2
- Suivi de résistance du H1N1
- Résistance Rifampicin
- Résistance Linezolid chez *Enterococci*

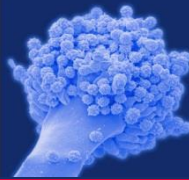


Exemple de *Streptococcus sp.*: plus de 25 espèces sont identifiées avec le même essai

	10	20	30	40	50
<i>S. agalactiae</i>	GTGCAATTTT	TGGATAAATCGCGT	AGTA - - -	TTGAT - - -	ATACT ATGAGGAAAGTCCA
<i>S. anginosus</i>	GTGCAATTTT	TGGATAAATCGCGT	GAGAG - TCGTC - - -	TTTTCT - - -	ATGAGGAAAGTCCA
<i>S. bovis</i>	GTGCAATTTT	TGGATAAATCGCGT	GGTAC - - CTTAC - - -	GATCC - - -	ATGAGGAAAGTCCA
<i>S. constellatus</i>	GTGCAATTTT	TGGATAAATCGCGT	GAGAG - TCGTC - - -	TTTTCT - - -	ATGAGGAAAGTCCA
<i>S. cricetus</i>	GTGCAATTTT	TGGATAAATCGCAT	GTCAC - - - TTTTTA - - -	GTTGAT - - -	ATGAGGAAAGTCCA
<i>S. cristatus</i>	GTGCAATTTT	TGGATAAATCGCGT	GAGA - - - TTTGATA - - -	TTTTCT - - -	ATGAGGAAAGTCCA
<i>S. dysgalactiae equisi</i>	GTGCAATTTT	TGGATAAATCGCGT	AGTA - - - TTTCA - - -	ATACT - - -	ATGAGGAAAGTCCA
<i>S. equi zooepidemicus</i>	GTGCAATTTT	TGGATAAATCGCGT	AGTA - - - TTTCA - - -	ATACT - - -	ATGAGGAAAGTCCA
<i>S. gallolyticus</i>	GTGCAATTTT	TGGATAAATCGCGT	GTA - - - TTTTA - - -	ATACT - - -	ATGAGGAAAGTCCA
<i>S. gordonii</i>	GTGCAATTTT	TGGATAAATCGCAT	GAAAAG - TTTA - - - -	TTTTTT - - -	ATGAGGAAAGTCCA
<i>S. infantarius infant</i>	GTGCAATTTT	TGGATAAATCGCGT	GGTA - - - TTCTA - - -	ATACT - - -	ATGAGGAAAGTCCA
<i>S. infantis</i>	GTGCAATTTT	TGGATAAATCGCGT	GAGAGTTTATC - - -	TTTTCT - - -	ATGAGGAAAGTCCA
<i>S. intermedius</i>	GTGCAATTTT	TGGATAAATCGCGT	GAGATATTTTA - - -	TTTTCT - - -	ATGAGGAAAGTCCA
<i>S. mitis</i>	GTGCAATTTT	TGGATAAATCGCGT	GAGGAG - AATTTCT - - -	TTTTCT - - -	ATGAGGAAAGTCCA
<i>S. mutans</i>	GTGCAATTTT	TGGATAAATCGCGT	GGTAAATATTGCAATT	TTTATC - - -	ATGAGGAAAGTCCA
<i>S. oralis</i>	GTGCAATTTT	TGGATAAATCGCGT	GAGAG - GATCTC - - -	TTTTCT - - -	ATGAGGAAAGTCCA
<i>S. parasanguinis</i>	GTGCAATTTT	TGGATAAATCGCGT	GAGAG - TTCCTT - - -	CCCTC - - -	ATGAGGAAAGTCCA
<i>S. peroris</i>	GTGCAATTTT	TGGATAAATCGCGT	GAGGGTTTATC - - -	TTTTCT - - -	ATGAGGAAAGTCCA
<i>S. pneumoniae</i>	GTGCAATTTT	TGGATAAATCGCGT	GAGGAG - AATTTGC - - -	TTCTC - - -	ATGAGGAAAGTCCA
<i>S. pyogenes</i>	GTGCAATTTT	TGGATAAATCGCGT	AGTA - - - TTTTA - - -	ATACT - - -	ATGAGGAAAGTCCA
<i>S. rattus</i>	GTGCAATTTT	TGGATAAATCGCGT	GATAA - - TATT - - -	TATC - - -	ATGAGGAAAGTCCA
<i>S. salivarius</i>	GTGCAATTTT	TGGATAAATCGCAT	GGTT - - GCTAGTC - - -	TTCC - - -	ATGAGGAAAGTCCA
<i>S. sanguinis</i>	GTGCAATTTT	TGGATAAATCGCGT	GAAA - - TTTTAGA - - -	TTTTCT - - -	ATGAGGAAAGTCCA
<i>S. sobrinus</i>	GTGCAATTTT	TGGATAAATCGCAT	GTCGC - - TTTCTT - - -	GCGAC - - -	ATGAGGAAAGTCCA
<i>S. suis</i>	GTGCAATTTT	TGGATAAATCGCGT	GTAG - - TTTTCT - - -	TACC - - -	ATGAGGAAAGTCCA
<i>S. thermophilus</i>	GTGCAATTTT	TGGATAAATCGCAT	GGTT - GCAAGTC - - -	TTCC - - -	ATGAGGAAAGTCCA
<i>S. urinalis</i>	GTGCAATTTT	TGGATAAATCGCGT	AGTA - - - TTCAA - - -	ATACT - - -	ATGAGGAAAGTCCA

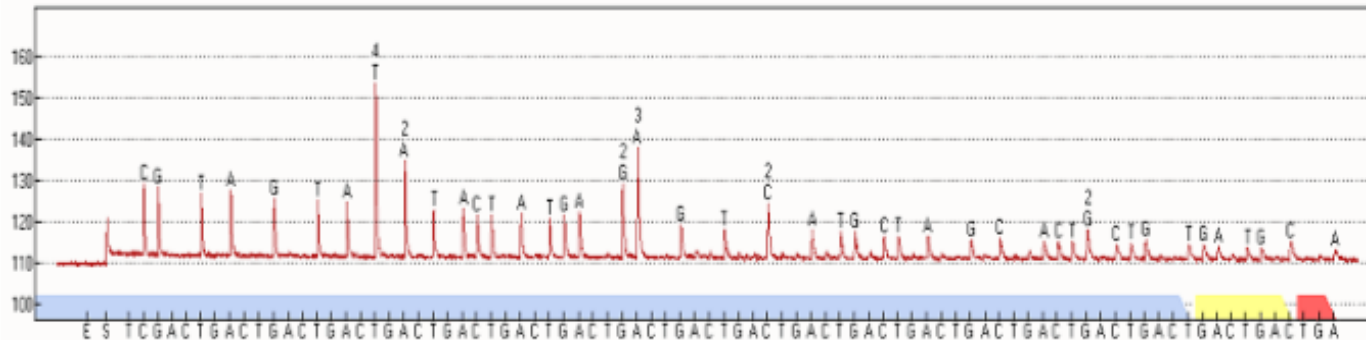
Alignement de la région hyper variable P3 du gène *rnpB*.

Cette région peut être utilisée comme séquence signature des espèces à identifier.



Result: Streptococcus_pyogenes T_CCUG4207
Quality: Good

Score: 100



Hit 1: Streptococcus_pyogenes T_CCUG4207

Score: 100
 Identities: 52/52 (100%)
 Gaps: 0/52 (0%)
 E-value: 1.39e-047

Query 1 CGTATATTTTAATACTATCAGGAAAGTCCATGCTAGCACTGGCTGTGATGC 52
 Library 21 CGTAGTATTTTAATACTATCAGGAAAGTCCATGCTAGCACTGGCTGTGATGC 72

"Query" =
séquence obtenue par
Pyrosequencing

ID: *Streptococcus pyogenes*